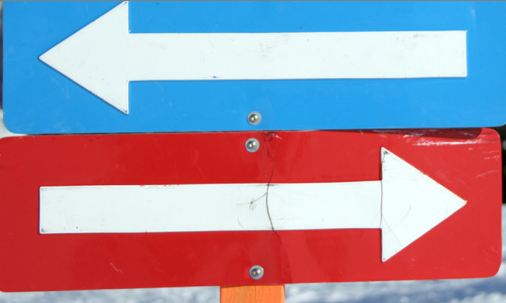


# Algorithmen für Routenplanung

13. Sitzung, Sommersemester 2011

Reinhard Bauer, Thomas Pajor | 9. Juni 2011

INSTITUT FÜR THEORETISCHE INFORMATIK · ALGORITHMIK I · PROF. DR. DOROTHEA WAGNER



# Zeitabhängige Routenplanung

## Szenario:

- Historische Daten für Verkehrssituation verfügbar
- Verkehrssituation vorhersagbar
- Berechne schnellsten Weg bezüglich der erwarteten Verkehrssituation (zu einem gegebenen Startzeitpunkt)



## Beobachtung:

- Kein konzeptioneller Unterschied zu Public Transport
- Somit (eventuell) Techniken übertragbar

## Hauptproblem:

- Kürzester Weg hängt von Abfahrtszeitpunkt ab
- Eingabegröße steigt massiv an

## Vorgehen:

- Modellierung
- Anpassung Dijkstra
- Anpassung der Basismodule für Beschleunigungstechniken

## Heute:

- Modellierung und Dijkstra

## Hauptproblem:

- Kürzester Weg hängt von Abfahrtszeitpunkt ab
- Eingabegröße steigt massiv an

## Vorgehen:

- Modellierung
- Anpassung Dijkstra
- Anpassung der Basismodule für Beschleunigungstechniken

## Heute:

- Modellierung und Dijkstra

## Hauptproblem:

- Kürzester Weg hängt von Abfahrtszeitpunkt ab
- Eingabegröße steigt massiv an

## Vorgehen:

- Modellierung
- Anpassung Dijkstra
- Anpassung der Basismodule für Beschleunigungstechniken

## Heute:

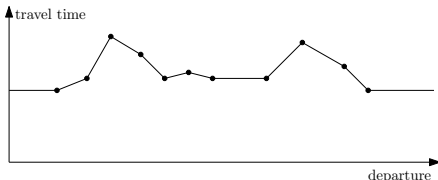
- Modellierung und Dijkstra

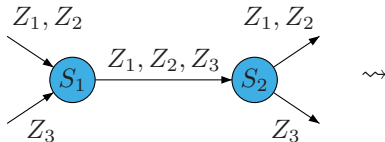
## Eingabe:

- Durchschnittliche Reisezeit zu bestimmten Zeitpunkten
- Jeden Wochentag verschieden
- Sonderfälle: Urlaubszeit

## Somit an jeder Kante:

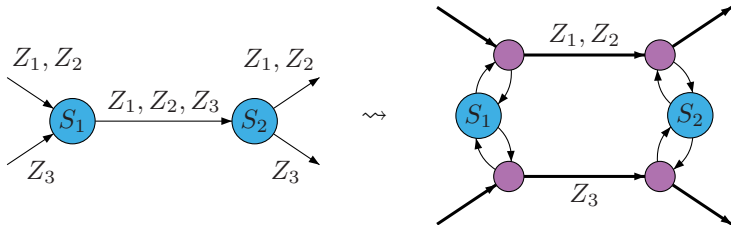
- Periodische stückweise lineare Funktion
- Definiert durch Stützpunkte
- Interpoliere linear zwischen Stützpunkten





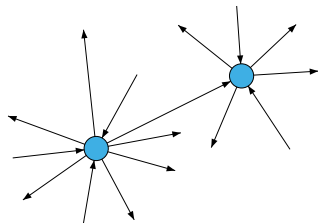
- Teile Züge  $Z_i$  in Routen ein
- Für alle Routen, die eine Station bedienen: Ein extra Knoten
  - Modelliert Umstiege zwischen Zügen
  - Mindesttransferzeit für jede Station: an Stations-Kanten



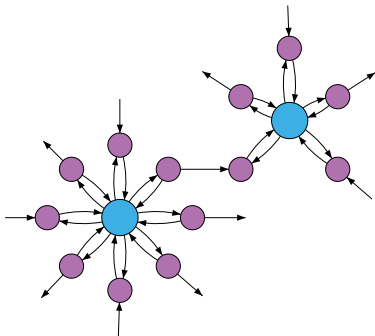


- Teile Züge  $Z_i$  in Routen ein
- Für alle Routen, die eine Station bedienen: Ein extra Knoten
  - Modelliert Umstiege zwischen Zügen
  - Mindesttransferzeit für jede Station: an Stations-Kanten

Nutzung des Eisenbahnansatzes nicht sinnvoll



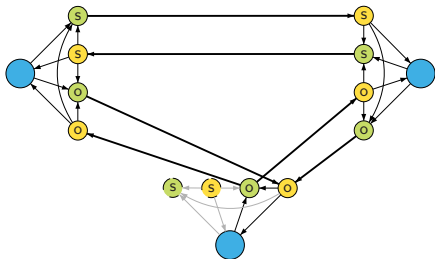
~



Graphen werden zu groß.

## Modellierung:

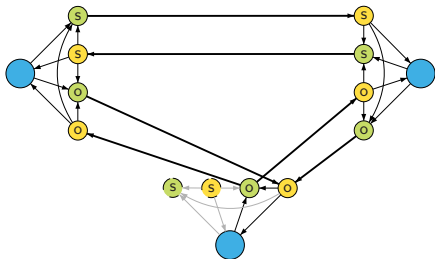
- Check-in,
- Check-out,
- Transfer,
- zwischen Allianzen.



⇒ Zwei Knoten pro Allianz (Abflug und Ankunfts-knoten)

## Modellierung:

- Check-in,
- Check-out,
- Transfer,
- zwischen Allianzen.



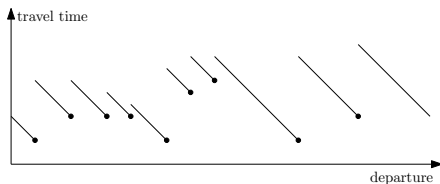
⇒ Zwei Knoten pro Allianz (Abflug und Ankunfts-knoten)

## Eingabe:

- Reisezeit zu bestimmten Zeitpunkten (Fahrzeiten der Züge)
- Jeden Tag verschieden

## Somit:

- Periodische stückweise lineare Funktionen
- Definiert durch Stützpunkte
- Wartezeit zur nächsten Verbindung + Reisezeit



## Definition

Sei  $f : \mathbb{R}_0^+ \rightarrow \mathbb{R}_0^+$  eine Funktion.  $f$  erfüllt die *FIFO-Eigenschaft*, wenn für jedes  $\varepsilon > 0$  und alle  $\tau \in \mathbb{R}_0^+$  gilt, dass

$$f(\tau) \leq \varepsilon + f(\tau + \varepsilon).$$

## Diskussion

- Interpretation: “Warten lohnt sich nie”
  - Kürzeste Wege auf Graphen mit non-FIFO Funktionen zu finden ist NP-schwer.  
(wenn warten an Knoten nicht erlaubt ist)
- ⇒ Sicherstellen, dass Funktionen FIFO-Eigenschaft erfüllen.

## Eigenschaften:

- Topologie ändert sich nicht
- Kanten gemischt zeitabhängig und konstant
- variable (!) Anzahl Interpolationspunkte pro Kante

## Beobachtungen:

- FIFO gilt auf allen Kanten
- später wichtig

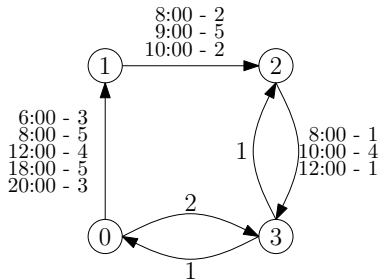
## Eigenschaften:

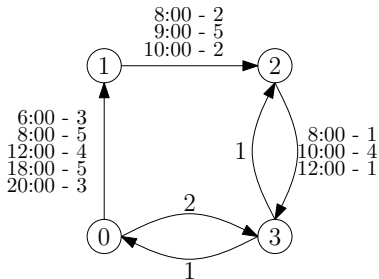
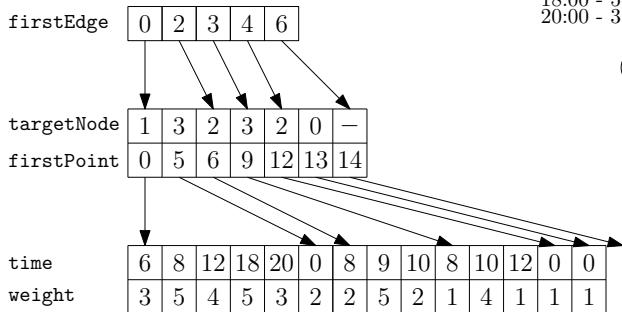
- Topologie ändert sich nicht
- Kanten gemischt zeitabhängig und konstant
- variable (!) Anzahl Interpolationspunkte pro Kante

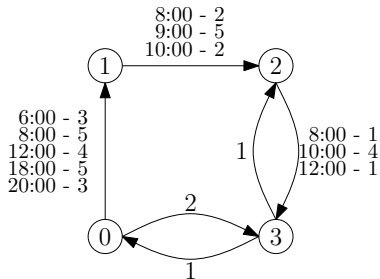
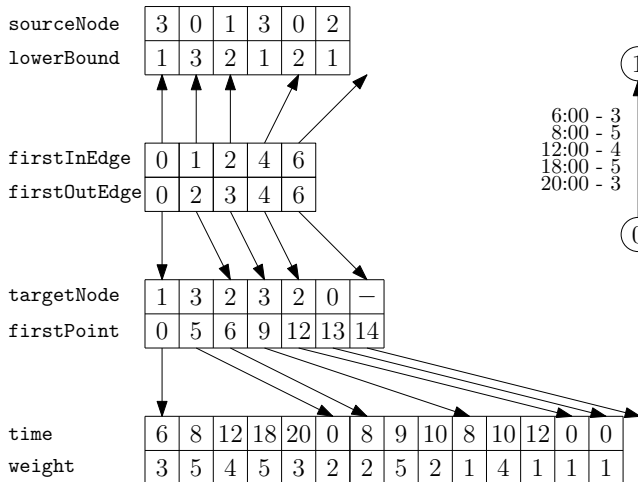
## Beobachtungen:

- FIFO gilt auf allen Kanten
- später wichtig









## Zeit-Anfrage:

- finde kürzesten Weg für Abfahrtszeit  $\tau$
- analog zu Dijkstra?

## Profil-Anfrage:

- finde kürzesten Weg für alle Abfahrtszeitpunkte
- analog zu Dijkstra?

## Zeit-Anfrage:

- finde kürzesten Weg für Abfahrtszeit  $\tau$
- analog zu Dijkstra?

## Profil-Anfrage:

- finde kürzesten Weg für alle Abfahrtszeitpunkte
- analog zu Dijkstra?

---

Time-Dijkstra( $G = (V, E), s, \tau$ )

---

```
1  $d_\tau[s] = 0$ 
2  $Q.clear(), Q.add(s, 0)$ 
3 while  $!Q.empty()$  do
4      $u \leftarrow Q.deleteMin()$ 
5     for all edges  $e = (u, v) \in E$  do
6         if  $d_\tau[u] + \text{len}(e, \tau + d_\tau[u]) < d_\tau[v]$  then
7              $d_\tau[v] \leftarrow d_\tau[u] + \text{len}(e, \tau + d_\tau[u])$ 
8              $p_\tau[v] \leftarrow u$ 
9             if  $v \in Q$  then  $Q.decreaseKey(v, d_\tau[v])$ 
10            else  $Q.insert(v, d_\tau[v])$ 
```

---

## Beobachtung:

- Nur ein Unterschied zu Dijkstra
- Auswertung der Kanten

## non-FIFO Netzwerke:

- Im Kreis fahren kann sich lohnen
- NP-schwer (wenn warten an Knoten nicht erlaubt ist)
- Transportnetzwerke sind FIFO modellierbar (notfalls Multikanten)

## Beobachtung:

- Nur ein Unterschied zu Dijkstra
- Auswertung der Kanten

## non-FIFO Netzwerke:

- Im Kreis fahren kann sich lohnen
- NP-schwer (wenn warten an Knoten nicht erlaubt ist)
- Transportnetzwerke sind FIFO modellierbar (notfalls Multikanten)



---

Profile-Search( $G = (V, E), s$ )

---

```
1  $d_*[s] = 0$ 
2  $Q.clear(), Q.add(s, 0)$ 
3 while ! $Q.empty()$  do
4    $u \leftarrow Q.deleteMin()$ 
5   for all edges  $e = (u, v) \in E$  do
6     if  $d_*[u] \oplus \text{len}(e) \not\leq d_*[v]$  then
7        $d_*[v] \leftarrow \min(d_*[u] \oplus \text{len}(e), d_*[v])$ 
8       if  $v \in Q$  then  $Q.decreaseKey(v, \underline{d}[v])$ 
9       else  $Q.insert(v, \underline{d}[v])$ 
```

---

## Beobachtungen:

- Operationen auf Funktionen
- Priorität im Prinzip frei wählbar  
( $d[u]$  ist das Minimum der Funktion  $d_*[u]$ )
- Knoten können mehrfach besucht werden  $\Rightarrow$  label-correcting

## Herausforderungen:

- Wie effizient  $\oplus$  berechnen (Linken)?
- Wie effizient Minimum bilden?

## Funktion gegeben durch:

- Menge von Interpolationspunkten
- $I^f := \{(t_1^f, w_1^f), \dots, (t_k^f, w_k^f)\}$

## 3 Operationen notwendig:

- Auswertung
- Linken  $\oplus$
- Minimumsbildung

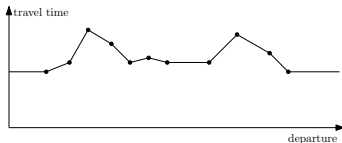
## Beobachtung:

- Unterschiedlich für Straße und Schiene

## Evaluation von $f(\tau)$ :

- Suche Punkte mit  $t_i \leq \tau$  und  $t_{i+1} \geq \tau$
- dann Evaluation durch

$$f(\tau) = w_i + (\tau - t_i) \cdot \frac{w_{i+1} - w_i}{t_{i+1} - t_i}$$



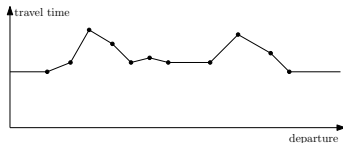
## Problem:

- Finden von  $t_i$  und  $t_{i+1}$
- Theoretisch:
  - Lineare Suche:  $\mathcal{O}(|I|)$
  - Binäre Suche:  $\mathcal{O}(\log_2 |I|)$
- Praktisch:
  - $|I| < 30 \Rightarrow$  lineare Suche
  - Sonst: Lineare Suche mit Startpunkt  $\frac{\tau}{\Pi} \cdot |I|$   
wobei  $\Pi$  die Periodendauer ist

## Evaluation von $f(\tau)$ :

- Suche Punkte mit  $t_i \leq \tau$  und  $t_{i+1} \geq \tau$
- dann Evaluation durch

$$f(\tau) = w_i + (\tau - t_i) \cdot \frac{w_{i+1} - w_i}{t_{i+1} - t_i}$$



## Problem:

- Finden von  $t_i$  und  $t_{i+1}$
- Theoretisch:
  - Lineare Suche:  $\mathcal{O}(|I|)$
  - Binäre Suche:  $\mathcal{O}(\log_2 |I|)$
- Praktisch:
  - $|I| < 30 \Rightarrow$  lineare Suche
  - Sonst: Lineare Suche mit Startpunkt  $\frac{\tau}{\Pi} \cdot |I|$   
wobei  $\Pi$  die Periodendauer ist

## Definition

Seien  $f : \mathbb{R}_0^+ \rightarrow \mathbb{R}_0^+$  und  $g : \mathbb{R}_0^+ \rightarrow \mathbb{R}_0^+$  zwei Funktionen die die FIFO-Eigenschaft erfüllen. Die Linkoperation  $f \oplus g$  ist dann definiert durch

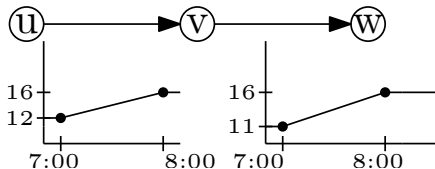
$$f \oplus g := f + g \circ (\text{id} + f)$$

**Oder**

$$(f \oplus g)(\tau) := f(\tau) + g(\tau + f(\tau))$$

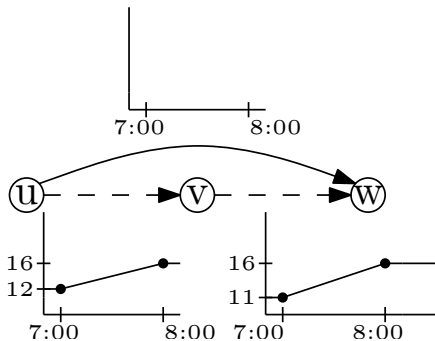
## Linken zweier Funktionen $f$ und $g$

- $f \oplus g$  enthält auf jeden Fall  $\{(t_1^f, w_1^f + g(t_1^f + w_1^f)), \dots, (t_j^f, w_j^f + g(t_j^f + w_j^f))\}$
- Zusätzliche Interpolationspunkte an  $t_j^{-1}$  mit  $f(t_j^{-1}) + t_j^{-1} = t_j^g$
- Füge  $(t_j^{-1}, f(t_j^{-1}) + w_j^g)$  für alle Punkte von  $g$  zu  $f \oplus g$
- Durch linearen Sweeping-Algorithmus implementierbar



## Linken zweier Funktionen $f$ und $g$

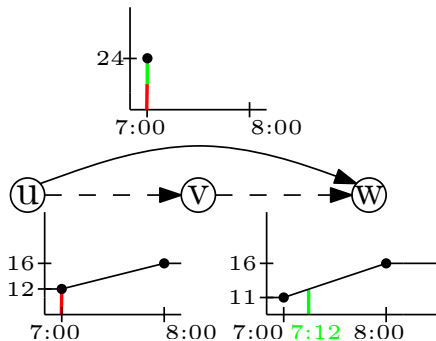
- $f \oplus g$  enthält auf jeden Fall  $\{(t_1^f, w_1^f + g(t_1^f + w_1^f)), \dots, (t_j^f, w_j^f + g(t_j^f + w_j^f))\}$
- Zusätzliche Interpolationspunkte an  $t_j^{-1}$  mit  $f(t_j^{-1}) + t_j^{-1} = t_j^g$
- Füge  $(t_j^{-1}, f(t_j^{-1}) + w_j^g)$  für alle Punkte von  $g$  zu  $f \oplus g$
- Durch linearen Sweeping-Algorithmus implementierbar





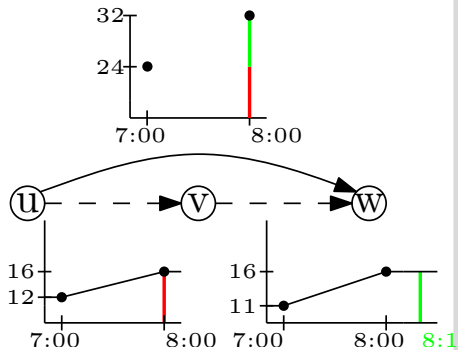
## Linken zweier Funktionen $f$ und $g$

- $f \oplus g$  enthält auf jeden Fall  $\{(t_1^f, w_1^f + g(t_1^f + w_1^f)), \dots, (t_j^f, w_j^f + g(t_j^f + w_j^f))\}$
- Zusätzliche Interpolationspunkte an  $t_j^{-1}$  mit  $f(t_j^{-1}) + t_j^{-1} = t_j^g$
- Füge  $(t_j^{-1}, f(t_j^{-1}) + w_j^g)$  für alle Punkte von  $g$  zu  $f \oplus g$
- Durch linearen Sweeping-Algorithmus implementierbar



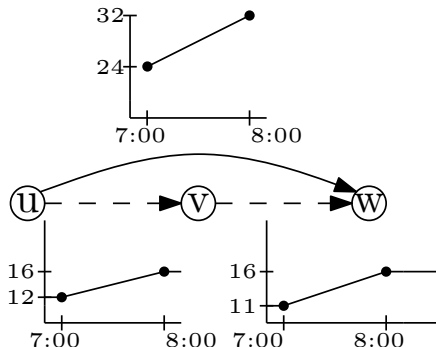
## Linken zweier Funktionen $f$ und $g$

- $f \oplus g$  enthält auf jeden Fall  $\{(t_1^f, w_1^f + g(t_1^f + w_1^f)), \dots, (t_j^f, w_j^f + g(t_j^f + w_j^f))\}$
- Zusätzliche Interpolationspunkte an  $t_j^{-1}$  mit  $f(t_j^{-1}) + t_j^{-1} = t_j^g$
- Füge  $(t_j^{-1}, f(t_j^{-1}) + w_j^g)$  für alle Punkte von  $g$  zu  $f \oplus g$
- Durch linearen Sweeping-Algorithmus implementierbar



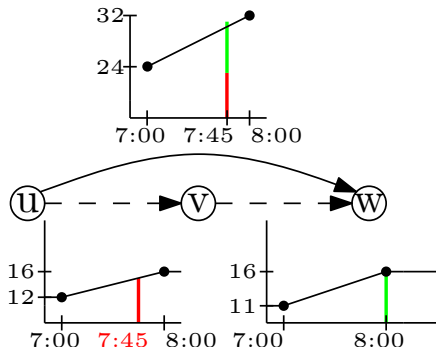
## Linken zweier Funktionen $f$ und $g$

- $f \oplus g$  enthält auf jeden Fall  $\{(t_1^f, w_1^f + g(t_1^f + w_1^f)), \dots, (t_j^f, w_j^f + g(t_j^f + w_j^f))\}$
- Zusätzliche Interpolationspunkte an  $t_j^{-1}$  mit  $f(t_j^{-1}) + t_j^{-1} = t_j^g$
- Füge  $(t_j^{-1}, f(t_j^{-1}) + w_j^g)$  für alle Punkte von  $g$  zu  $f \oplus g$
- Durch linearen Sweeping-Algorithmus implementierbar



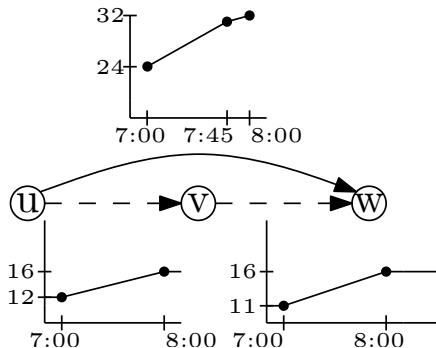
## Linken zweier Funktionen $f$ und $g$

- $f \oplus g$  enthält auf jeden Fall  $\{(t_1^f, w_1^f + g(t_1^f + w_1^f)), \dots, (t_j^f, w_j^f + g(t_j^f + w_j^f))\}$
- Zusätzliche Interpolationspunkte an  $t_j^{-1}$  mit  $f(t_j^{-1}) + t_j^{-1} = t_j^g$
- Füge  $(t_j^{-1}, f(t_j^{-1}) + w_j^g)$  für alle Punkte von  $g$  zu  $f \oplus g$
- Durch linearen Sweeping-Algorithmus implementierbar



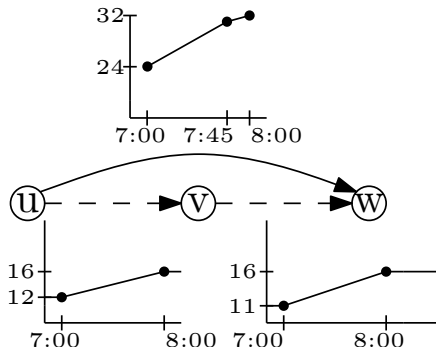
## Linken zweier Funktionen $f$ und $g$

- $f \oplus g$  enthält auf jeden Fall  $\{(t_1^f, w_1^f + g(t_1^f + w_1^f)), \dots, (t_j^f, w_j^f + g(t_j^f + w_j^f))\}$
- Zusätzliche Interpolationspunkte an  $t_j^{-1}$  mit  $f(t_j^{-1}) + t_j^{-1} = t_j^g$
- Füge  $(t_j^{-1}, f(t_j^{-1}) + w_j^g)$  für alle Punkte von  $g$  zu  $f \oplus g$
- Durch linearen Sweeping-Algorithmus implementierbar



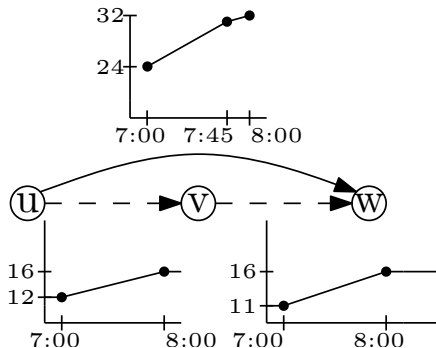
## Linken zweier Funktionen $f$ und $g$

- $f \oplus g$  enthält auf jeden Fall  $\{(t_1^f, w_1^f + g(t_1^f + w_1^f)), \dots, (t_j^f, w_j^f + g(t_j^f + w_j^f))\}$
- Zusätzliche Interpolationspunkte an  $t_j^{-1}$  mit  $f(t_j^{-1}) + t_j^{-1} = t_j^g$
- Füge  $(t_j^{-1}, f(t_j^{-1}) + w_j^g)$  für alle Punkte von  $g$  zu  $f \oplus g$
- Durch linearen Sweeping-Algorithmus implementierbar



## Linken zweier Funktionen $f$ und $g$

- $f \oplus g$  enthält auf jeden Fall  $\{(t_1^f, w_1^f + g(t_1^f + w_1^f)), \dots, (t_j^f, w_j^f + g(t_j^f + w_j^f))\}$
- Zusätzliche Interpolationspunkte an  $t_j^{-1}$  mit  $f(t_j^{-1}) + t_j^{-1} = t_j^g$
- Füge  $(t_j^{-1}, f(t_j^{-1}) + w_j^g)$  für alle Punkte von  $g$  zu  $f \oplus g$
- Durch linearen Sweeping-Algorithmus implementierbar



## Laufzeit

- Sweep Algorithmus
- $\mathcal{O}(|I^f| + |I^g|)$
- Zum Vergleich: Zeitunabhängig  $\mathcal{O}(1)$

## Speicherverbrauch

- Geklinkte Funktion hat  $\approx |I^f| + |I^g|$  Interpolationspunkte

## Problem:

- Während Profilsuche kann ein Pfad mehreren Tausend Kanten entsprechen. . .
- Shortcuts. . .
- es kommt noch schlimmer. . .



## Laufzeit

- Sweep Algorithmus
- $\mathcal{O}(|I^f| + |I^g|)$
- Zum Vergleich: Zeitunabhängig  $\mathcal{O}(1)$

## Speicherverbrauch

- Geklinkte Funktion hat  $\approx |I^f| + |I^g|$  Interpolationspunkte

## Problem:

- Während Profilsuche kann ein Pfad mehreren Tausend Kanten entsprechen. . .
- Shortcuts. . .
- es kommt noch schlimmer. . .

## Laufzeit

- Sweep Algorithmus
- $\mathcal{O}(|I^f| + |I^g|)$
- Zum Vergleich: Zeitunabhängig  $\mathcal{O}(1)$

## Speicherverbrauch

- Geklinkte Funktion hat  $\approx |I^f| + |I^g|$  Interpolationspunkte

## Problem:

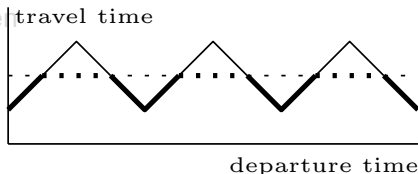
- Während Profilsuche kann ein Pfad mehreren Tausend Kanten entsprechen. . .
- Shortcuts. . .
- es kommt noch schlimmer. . .

## Minimum zweier Funktionen $f$ und $g$

- Für alle  $(t_i^f, w_i^f)$ : behalte Punkt, wenn  $w_i^f < g(t_i^f)$
- Für alle  $(t_j^g, w_j^g)$ : behalte Punkt, wenn  $w_j^g < f(t_j^g)$
- Schnittpunkte müssen ebenfalls eingefügt werden

## Vorgehen:

- Linearer sweep
- Evaluiere, welcher Abschnitt oben
- Checke ob Schnittpunkt existiert

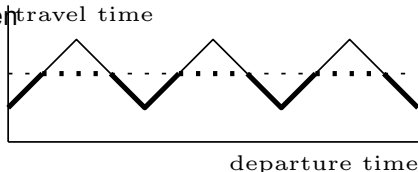


## Minimum zweier Funktionen $f$ und $g$

- Für alle  $(t_i^f, w_i^f)$ : behalte Punkt, wenn  $w_i^f < g(t_i^f)$
- Für alle  $(t_j^g, w_j^g)$ : behalte Punkt, wenn  $w_j^g < f(t_j^g)$
- Schnittpunkte müssen ebenfalls eingefügt werden

## Vorgehen:

- Linearer sweep
- Evaluiere, welcher Abschnitt oben
- Checke ob Schnittpunkt existiert



## Laufzeit

- Sweep Algorithmus
- $\mathcal{O}(|f| + |g|)$
- Zum Vergleich: Zeitunabhängig:  $\mathcal{O}(1)$

## Speicherverbrauch

- Minimum-Funktion kann mehr als  $|f| + |g|$  Interpolationspunkte enthalten

## Problem:

- Während Profilsuche werden Funktionen gemergt
- Laufzeit der Profilsuchen wird durch diese Operationen dominiert

## Laufzeit

- Sweep Algorithmus
- $\mathcal{O}(|I^f| + |I^g|)$
- Zum Vergleich: Zeitunabhängig:  $\mathcal{O}(1)$

## Speicherverbrauch

- Minimum-Funktion kann mehr als  $|I^f| + |I^g|$  Interpolationspunkte enthalten

## Problem:

- Während Profilsuche werden Funktionen gemergt
- Laufzeit der Profilsuchen wird durch diese Operationen dominiert

## Laufzeit

- Sweep Algorithmus
- $\mathcal{O}(|I^f| + |I^g|)$
- Zum Vergleich: Zeitunabhängig:  $\mathcal{O}(1)$

## Speicherverbrauch

- Minimum-Funktion kann mehr als  $|I^f| + |I^g|$  Interpolationspunkte enthalten

## Problem:

- Während Profilsuche werden Funktionen gemergt
- Laufzeit der Profilsuchen wird durch diese Operationen dominiert

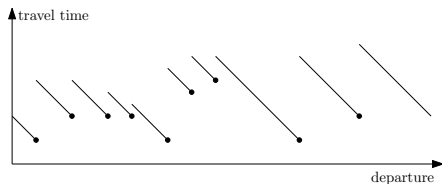
## Evaluation von $f(\tau)$ :

- Suche Punkte mit  $t_i \geq \tau$  und  $t_i - \tau$  minimal
- dann Evaluation durch

$$f(\tau) = w_i + (t_i - \tau)$$

## Problem:

- Finden von  $t_i$  und  $t_{i+1}$
- Theoretisch:
  - Lineare Suche:  $\mathcal{O}(|I|)$
  - Binäre Suche:  $\mathcal{O}(\log_2 |I|)$
- praktisch:
  - $|I| < 30$ : Lineare Suche
  - Sonst: Lineare Suche mit Startpunkt  $\frac{\tau}{\bar{t}} \cdot |I|$





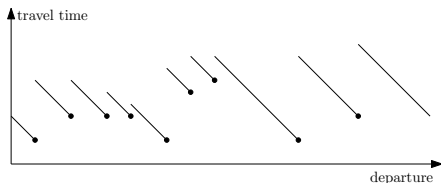
## Evaluation von $f(\tau)$ :

- Suche Punkte mit  $t_i \geq \tau$  und  $t_i - \tau$  minimal
- dann Evaluation durch

$$f(\tau) = w_i + (t_i - \tau)$$

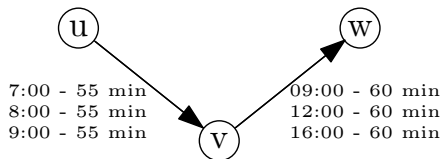
## Problem:

- Finden von  $t_i$  und  $t_{i+1}$
- Theoretisch:
  - Lineare Suche:  $\mathcal{O}(|I|)$
  - Binäre Suche:  $\mathcal{O}(\log_2 |I|)$
- praktisch:
  - $|I| < 30$ : Lineare Suche
  - Sonst: Lineare Suche mit Startpunkt  $\frac{\tau}{\bar{t}} \cdot |I|$



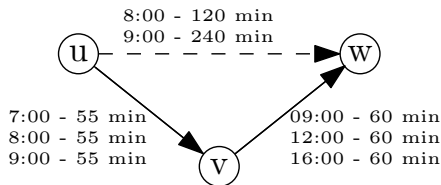
## Linken zweier Funktionen $f$ und $g$

- Für jeden Punkt  $(t_i^f, w_i^f)$  bestimme den Verbindungspunkt  $(t_j^g, w_j^g)$  mit  $t_j^g - t_i^f - w_i^f \geq 0$  minimal
- Erste Verbindung, die man auf  $g$  erreichen kann
- Füge  $(t_i^f, t_j^g + w_j^g - t_i^f)$  hinzu
- Wenn zwei Punkte den gleichen Verbindungspunkt haben, behalte nur den mit größerem  $t_i^f$
- Wieder Sweep-Algorithmus



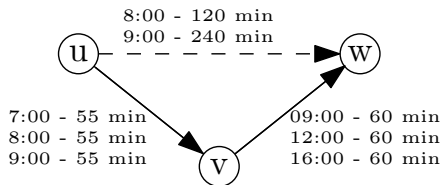
## Linken zweier Funktionen $f$ und $g$

- Für jeden Punkt  $(t_i^f, w_i^f)$  bestimme den Verbindungspunkt  $(t_j^g, w_j^g)$  mit  $t_j^g - t_i^f - w_i^f \geq 0$  minimal
- Erste Verbindung, die man auf  $g$  erreichen kann
- Füge  $(t_i^f, t_j^g + w_j^g - t_i^f)$  hinzu
- Wenn zwei Punkte den gleichen Verbindungspunkt haben, behalte nur den mit größerem  $t_i^f$
- Wieder Sweep-Algorithmus



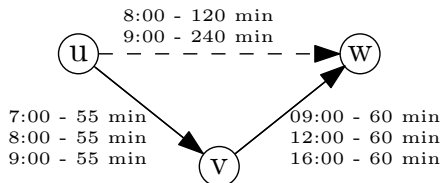
## Linken zweier Funktionen $f$ und $g$

- Für jeden Punkt  $(t_i^f, w_i^f)$  bestimme den Verbindungspunkt  $(t_j^g, w_j^g)$  mit  $t_j^g - t_i^f - w_i^f \geq 0$  minimal
- Erste Verbindung, die man auf  $g$  erreichen kann
- Füge  $(t_i^f, t_j^g + w_j^g - t_i^f)$  hinzu
- Wenn zwei Punkte den gleichen Verbindungspunkt haben, behalte nur den mit größerem  $t_i^f$
- Wieder Sweep-Algorithmus



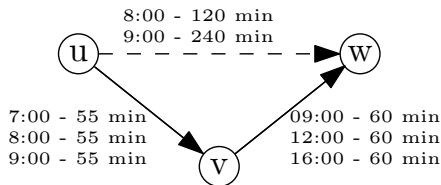
## Linken zweier Funktionen $f$ und $g$

- Für jeden Punkt  $(t_i^f, w_i^f)$  bestimme den Verbindungspunkt  $(t_j^g, w_j^g)$  mit  $t_j^g - t_i^f - w_i^f \geq 0$  minimal
- Erste Verbindung, die man auf  $g$  erreichen kann
- Füge  $(t_i^f, t_j^g + w_j^g - t_i^f)$  hinzu
- Wenn zwei Punkte den gleichen Verbindungspunkt haben, behalte nur den mit größerem  $t_i^f$
- Wieder Sweep-Algorithmus



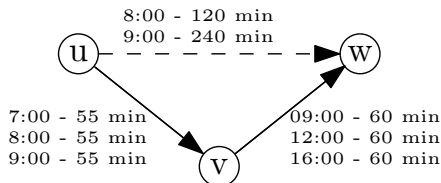
## Linken zweier Funktionen $f$ und $g$

- Für jeden Punkt  $(t_i^f, w_i^f)$  bestimme den Verbindungspunkt  $(t_j^g, w_j^g)$  mit  $t_j^g - t_i^f - w_i^f \geq 0$  minimal
- Erste Verbindung, die man auf  $g$  erreichen kann
- Füge  $(t_i^f, t_j^g + w_j^g - t_i^f)$  hinzu
- Wenn zwei Punkte den gleichen Verbindungspunkt haben, behalte nur den mit größerem  $t_i^f$
- Wieder Sweep-Algorithmus



## Linken zweier Funktionen $f$ und $g$

- Für jeden Punkt  $(t_i^f, w_i^f)$  bestimme den Verbindungspunkt  $(t_j^g, w_j^g)$  mit  $t_j^g - t_i^f - w_i^f \geq 0$  minimal
- Erste Verbindung, die man auf  $g$  erreichen kann
- Füge  $(t_i^f, t_j^g + w_j^g - t_i^f)$  hinzu
- Wenn zwei Punkte den gleichen Verbindungspunkt haben, behalte nur den mit größerem  $t_i^f$
- Wieder Sweep-Algorithmus



## Laufzeit

- Sweep-Algorithmus
- $\mathcal{O}(|I^f| + |I^g|)$
- Zum Vergleich: Zeitunabhängig:  $\mathcal{O}(1)$

## Speicherverbrauch

- Gelinkte Funktion hat  $\min\{|I^f|, |I^g|\}$  Interpolationspunkte

## Somit:

- Deutlich gutmütiger als Straßengraph-Funktionen



## Laufzeit

- Sweep-Algorithmus
- $\mathcal{O}(|I^f| + |I^g|)$
- Zum Vergleich: Zeitunabhängig:  $\mathcal{O}(1)$

## Speicherverbrauch

- Gelinkte Funktion hat  $\min\{|I^f|, |I^g|\}$  Interpolationspunkte

## Somit:

- Deutlich gutmütiger als Straßengraph-Funktionen

## Laufzeit

- Sweep-Algorithmus
- $\mathcal{O}(|I^f| + |I^g|)$
- Zum Vergleich: Zeitunabhängig:  $\mathcal{O}(1)$

## Speicherverbrauch

- Gelinkte Funktion hat  $\min\{|I^f|, |I^g|\}$  Interpolationspunkte

## Somit:

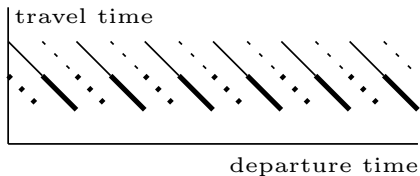
- Deutlich gutmütiger als Straßengraph-Funktionen

## Minimum zweier Funktionen $f$ und $g$

- Für alle  $(t_j^f, w_j^f)$ : behalte Punkt, wenn  $w_j^f < g(t_j^f)$
- Für alle  $(t_j^g, w_j^g)$ : behalte Punkt, wenn  $w_j^g < f(t_j^g)$
- Keine Schnittpunkte möglich(!)

## Vorgehen:

- Linearer Sweep

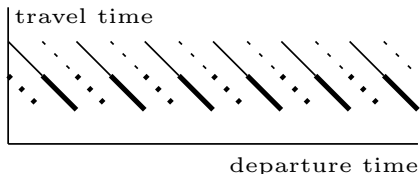


## Minimum zweier Funktionen $f$ und $g$

- Für alle  $(t_i^f, w_i^f)$ : behalte Punkt, wenn  $w_i^f < g(t_i^f)$
- Für alle  $(t_j^g, w_j^g)$ : behalte Punkt, wenn  $w_j^g < f(t_j^g)$
- Keine Schnittpunkte möglich(!)

## Vorgehen:

- Linearer Sweep

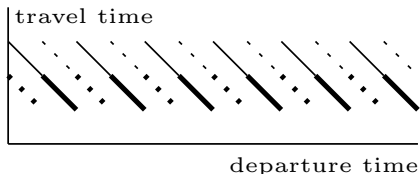


## Minimum zweier Funktionen $f$ und $g$

- Für alle  $(t_i^f, w_i^f)$ : behalte Punkt, wenn  $w_i^f < g(t_i^f)$
- Für alle  $(t_j^g, w_j^g)$ : behalte Punkt, wenn  $w_j^g < f(t_j^g)$
- Keine Schnittpunkte möglich(!)

## Vorgehen:

- Linearer Sweep



## Laufzeit

- Sweep-Algorithmus
- $\mathcal{O}(|I^f| + |I^g|)$
- Zum Vergleich: Zeitunabhängig:  $\mathcal{O}(1)$

## Speicherverbrauch

- Keine Schnittpunkte
- ⇒ Minimum-Funktion kann maximal  $|I^f| + |I^g|$  Interpolationspunkte enthalten

## Laufzeit

- Sweep-Algorithmus
- $\mathcal{O}(|I^f| + |I^g|)$
- Zum Vergleich: Zeitunabhängig:  $\mathcal{O}(1)$

## Speicherverbrauch

- Keine Schnittpunkte
- ⇒ Minimum-Funktion kann maximal  $|I^f| + |I^g|$  Interpolationspunkte enthalten

# Schiene vs. Straße

## Laufzeit Operationen

- gleich für beide
- $\mathcal{O}(\log |I|)$  für Auswertung
- $\mathcal{O}(|I^f| + |I^g|)$  für Linken und Minimum

## Speicherverbrauch

- Public Transport deutlich geringer
- Link:

$$|I^{f \oplus g}| \leq \min\{|I^f|, |I^g|\} \quad \text{vs.} \quad |I^{f \oplus g}| \approx |I^f| + |I^g|$$

- Merge:

$$|I^{\min\{f,g\}}| \leq |I^f| + |I^g| \quad \text{vs. eventuell} \quad |I^{\min\{f,g\}}| > (|I^f| + |I^g|)$$

## Profilsuchen

- Somit in Public Transport Netzen wahrscheinlich schneller



# Schiene vs. Straße

## Laufzeit Operationen

- gleich für beide
- $\mathcal{O}(\log |I|)$  für Auswertung
- $\mathcal{O}(|I^f| + |I^g|)$  für Linken und Minimum

## Speicherverbrauch

- Public Transport deutlich geringer
- Link:

$$|I^{f \oplus g}| \leq \min\{|I^f|, |I^g|\} \quad \text{vs.} \quad |I^{f \oplus g}| \approx |I^f| + |I^g|$$

- Merge:

$$|I^{\min\{f,g\}}| \leq |I^f| + |I^g| \quad \text{vs. eventuell} \quad |I^{\min\{f,g\}}| > (|I^f| + |I^g|)$$

## Profilsuchen

- Somit in Public Transport Netzen wahrscheinlich schneller

# Schiene vs. Straße

## Laufzeit Operationen

- gleich für beide
- $\mathcal{O}(\log |I|)$  für Auswertung
- $\mathcal{O}(|I^f| + |I^g|)$  für Linken und Minimum

## Speicherverbrauch

- Public Transport deutlich geringer
- Link:

$$|I^{f \oplus g}| \leq \min\{|I^f|, |I^g|\} \quad \text{vs.} \quad |I^{f \oplus g}| \approx |I^f| + |I^g|$$

- Merge:

$$|I^{\min\{f,g\}}| \leq |I^f| + |I^g| \quad \text{vs. eventuell} \quad |I^{\min\{f,g\}}| > (|I^f| + |I^g|)$$

## Profilsuchen

- Somit in Public Transport Netzen wahrscheinlich schneller

## Straße:

- Netzwerk Deutschland  $|V| \approx 4.7$  Mio.,  $|E| \approx 10.8$  Mio.
- 5 Verkehrsszenarien:
  - Montag:  $\approx 8\%$  Kanten zeitabhängig
  - Dienstag - Donnerstag:  $\approx 8\%$
  - Freitag:  $\approx 7\%$
  - Samstag:  $\approx 5\%$
  - Sonntag:  $\approx 3\%$

## Schiene:

- Europa Fernverbindungen
- 30 156 Stationen, 1.8 Millionen Verbindungen
- $|V| = 0.4$  Mio.,  $|E| = 1.4$  Mio.

# ”Grad” der Zeitabhängigkeit

|         | #delete mins | slow-down | time [ms] | slow-down |
|---------|--------------|-----------|-----------|-----------|
| kein    | 2,239,500    | 0.00%     | 1219.4    | 0.00%     |
| Montag  | 2,377,830    | 6.18%     | 1553.5    | 27.40%    |
| DiDo    | 2,305,440    | 2.94%     | 1502.9    | 23.25%    |
| Freitag | 2,340,360    | 4.50%     | 1517.2    | 24.42%    |
| Samstag | 2,329,250    | 4.01%     | 1470.4    | 20.59%    |
| Sonntag | 2,348,470    | 4.87%     | 1464.4    | 20.09%    |

## Beobachtung:

- kaum Veränderung in Suchraum
- Anfragen etwas langsamer durch Auswertung



## Beobachtung:

- Nicht durchführbar durch zu großen Speicherbedarf ( $> 32$  GiB RAM)
  - Interpoliert:
    - Suchraum steigt um ca. 10%
    - Suchzeiten um einen Faktor von bis zu 2 500
- ⇒ inpraktikabel

|                 | #delete mins | time [ms] |
|-----------------|--------------|-----------|
| Zeit-Anfragen   | 260 095      | 125       |
| Profil-Anfragen | 1 919 662    | 5 327     |

## Beobachtung:

- Deletemins steigen an (ungefähr Faktor 8)
- Queryzeit steigt an um Faktor 42
- Verlust für Operationen ist ca. 5

## Zeitabhängige Netzwerke (Basics)

- Funktionen statt Konstanten an Kanten
- Operationen werden teurer
  - $\mathcal{O}(\log |I|)$  für Auswertung
  - $\mathcal{O}(|I^r| + |I^g|)$  für Linken und Minimum
  - Straßennetze: Speicherverbrauch explodiert
  - Eisenbahn: gutartiger
- Zeitanfragen:
  - Normaler Dijkstra
  - Kaum langsamer (lediglich Auswertung)
- Profilanfragen
  - In Public Transportation gut nutzbar
  - Straßennetze nicht zu handhaben

## Literatur (Zeitabhängige Routenplanung):

- Daniel Delling:  
**Engineering and Augmenting Route Planning Algorithms**  
Ph.D. Thesis, Universität Karlsruhe (TH), 2009.